

Resolução da Folha de exercícios N.o 7

1. Resolvemos os circuitos deste problema usando a notação fasorial. Para estes circuito podemos relacionar a tensão de saída V_O com a tensão de entrada V_S usando a fórmula do divisor de tensão.

- *Circuito a):* Para este circuito podemos escrever:

$$V_O = \frac{R}{R + Z_L} V_S$$

Z_L é a impedância associada ao inductor:

$$Z_L = j\omega L$$

Assim, temos que:

$$\begin{aligned} H(\omega) &= \frac{V_O}{V_S} \\ &= \frac{R}{R + j\omega L} \end{aligned}$$

ou, em alternativa,

$$H(f) = \frac{R}{R + j2\pi f L}$$

A frequência de corte, f_c , satisfaçõa a equação seguinte:

$$|H_{\text{dB}}(f_c)| = -3 \text{ dB} \quad (1)$$

em que:

$$|H_{\text{dB}}(f)| = 20 \log_{10} |H(f)|$$

Dado que -3 dB corresponde a $1/\sqrt{2}$, ou seja:

$$20 \log_{10} \frac{1}{\sqrt{2}} = -3$$

então a eq. 1 pode ser re-escrita da seguinte forma:

$$|H(f_c)| = \frac{1}{\sqrt{2}}$$

ou seja,

$$\begin{aligned} \frac{R}{\sqrt{R^2 + (2\pi f_c L)^2}} &= \frac{1}{\sqrt{2}} \\ \Leftrightarrow \frac{R^2}{R^2 + (2\pi f_c L)^2} &= \frac{1}{2} \\ \Leftrightarrow f_c &= \frac{1}{2\pi\tau} \\ \Leftrightarrow f_c &= 238.7 \text{ kHz} \end{aligned}$$

em que $\tau = L/R$.

A figura 1 mostra o diagrama de Bode da função de transferência.

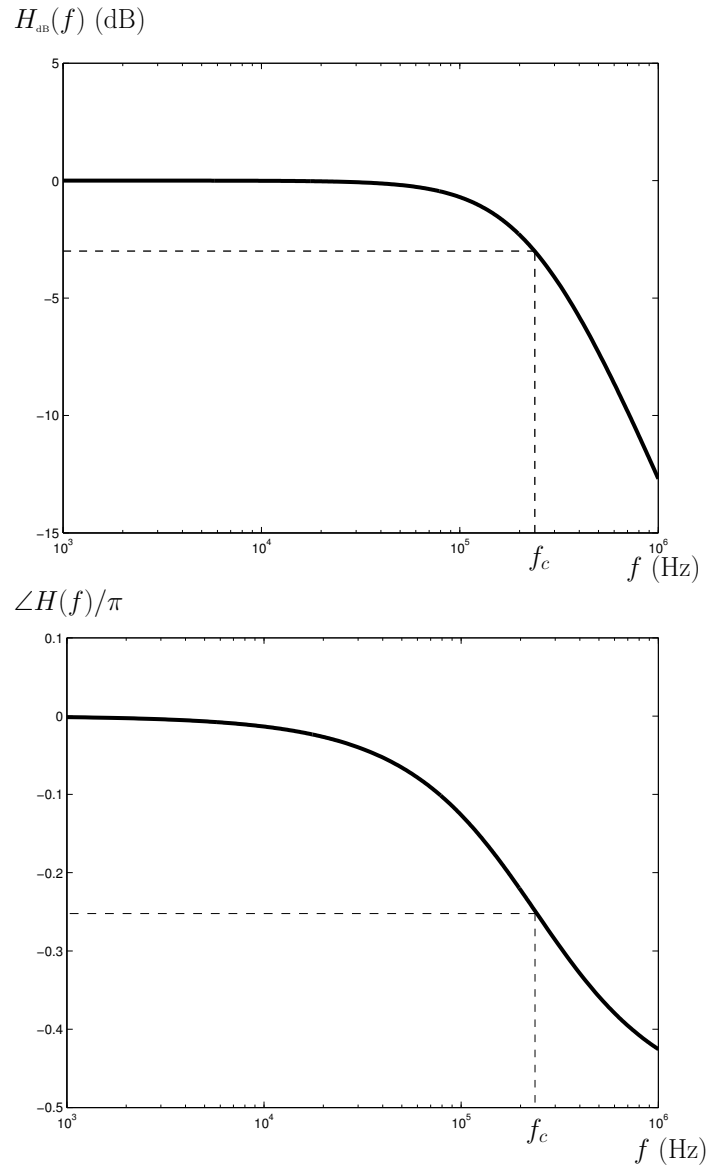


Figura 1: Diagrama de Bode.

- *Circuito b):* Para este circuito podemos escrever:

$$V_O = \frac{Z_{R_2 C}}{R_1 + Z_{R_2 C}} V_S$$

em que $Z_{R_2 C}$ é a impedância resultante do paralelo de R_2 com $(\omega C)^{-1}$, ou seja,:

$$Z_{R_2 C} = \frac{R_2}{1 + j \omega C R_2}$$

Assim, temos que:

$$\begin{aligned} H(\omega) &= \frac{V_O}{V_S} \\ &= \frac{R_2}{R_2 + R_1} \times \frac{1}{1 + j \omega C \frac{R_1 R_2}{R_1 + R_2}} \end{aligned}$$

Alternativamente podemos escrever

$$H(f) = \frac{R_2}{R_2 + R_1} \times \frac{1}{1 + j 2 \pi f C \frac{R_1 R_2}{R_1 + R_2}}$$

A frequência de corte, f_c , satisfaz a equação seguinte:

$$|H_{\text{dB}}(f_c)| = 20 \log_{10} \left(\frac{R_2}{R_2 + R_1} \right) - 3 \text{ dB} \quad (2)$$

Esta equação pode ser re-escrita da seguinte forma:

$$|H(f_c)| = \frac{1}{\sqrt{2}} \times \frac{R_2}{R_2 + R_1}$$

ou seja,

$$\begin{aligned} \frac{R_2}{R_2 + R_1} \times \frac{1}{\sqrt{1 + \left(2 \pi f_c C \frac{R_1 R_2}{R_1 + R_2} \right)^2}} &= \frac{R_2}{R_2 + R_1} \times \frac{1}{\sqrt{2}} \\ \Leftrightarrow \frac{1}{1 + (2 \pi f_c \tau)^2} &= \frac{1}{2} \\ \Leftrightarrow f_c &= \frac{1}{2 \pi \tau} \\ \Leftrightarrow f_c &= 1.6 \text{ kHz} \end{aligned}$$

em que $\tau = C (R_1 || R_2)$.

A figura 2 mostra o diagrama de Bode da função de transferência.

- *Circuito c):* Para este circuito podemos escrever:

$$V_O = \frac{Z_C}{Z_{R_3 L} + Z_C} V_S$$

em que $Z_{R_3 L}$ é a impedância resultante da série de R_3 com $j \omega L$, ou seja,:

$$Z_{R_3 L} = R_3 + j \omega L$$

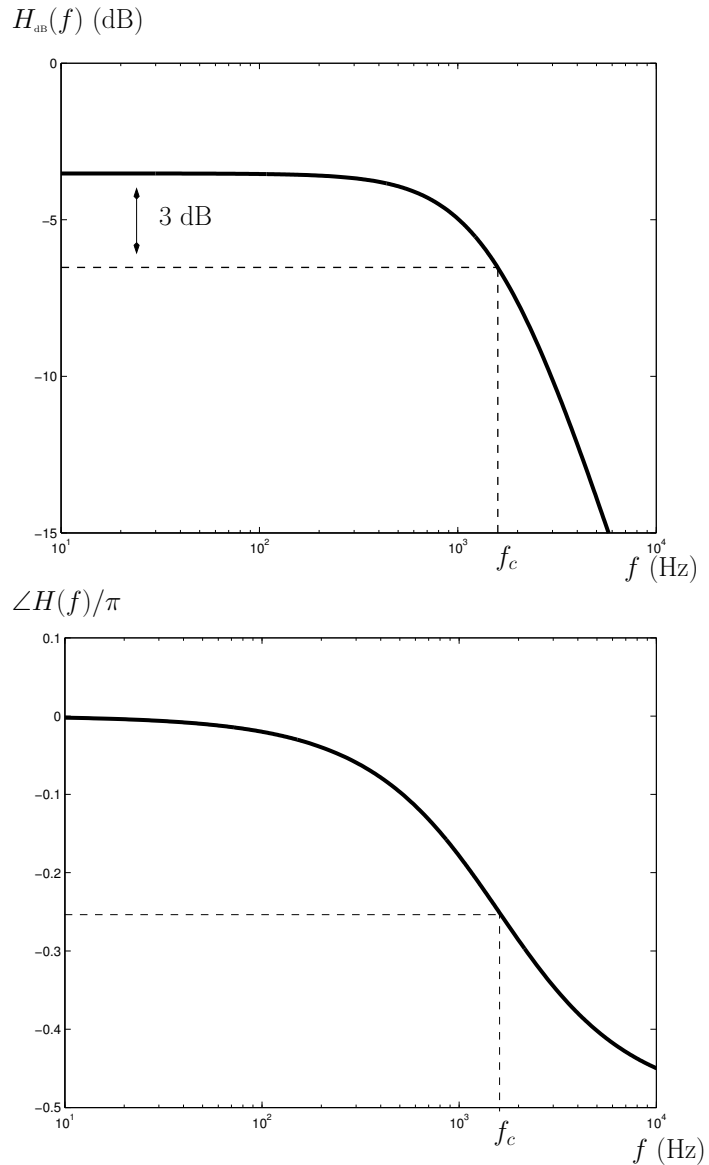


Figura 2: Diagrama de Bode.

Assim, temos que:

$$\begin{aligned} H(\omega) &= \frac{V_O}{V_S} \\ &= \frac{1}{1 + j\omega C R_3 + (j\omega)^2 LC} \end{aligned}$$

Esta função de transferência é de segunda ordem e pode ser escrita de acordo com a seguinte forma canónica:

$$H(\omega) = \frac{\omega_n^2}{\omega_n^2 + j\omega 2\eta\omega_n + (j\omega)^2}$$

ω_n designa-se por *frequência natural* e η é o *amortecimento*. Para o circuito em causa temos que

$$\begin{aligned} \omega_n &= \frac{1}{\sqrt{LC}} \\ &= 100 \text{ krad/s} \\ \eta &= \frac{1}{2} R_3 \sqrt{\frac{C}{L}} \\ &= 0.25 \Leftarrow R_3 = 50 \Omega \\ &= 1 \Leftarrow R_3 = 200 \Omega \\ &= 5 \Leftarrow R_3 = 1000 \Omega \end{aligned}$$

Quando $\eta < 1$ o sistema (ou circuito) diz-se *sub-amortecido*. Quando $\eta > 1$ o sistema diz-se *sobre-amortecido* e se $\eta = 1$ diz-se que o amortecimento é *crítico*. A frequência de corte, f_c , satisfaz a equação seguinte:

$$|H_{dB}(f_c)| = -3 \text{ dB} \quad (3)$$

Esta equação pode ser re-escrita da seguinte forma:

$$|H(f_c)| = \frac{1}{\sqrt{2}}$$

ou seja,

$$\left. \frac{\omega_n^2}{\sqrt{(\omega_n^2 - \omega^2)^2 + (\omega 2\eta\omega_n)^2}} \right|_{\omega=2\pi f_c} = \frac{1}{\sqrt{2}}$$

Resolvendo esta equação em ordem a f_c obtemos a frequência de corte:

$$\begin{aligned} f_c &= \frac{\omega_n}{2\pi} \sqrt{1 - 2\eta^2 + \sqrt{2 - 4\eta^2 + 4\eta^4}} \\ &= 23.6 \text{ kHz} \Leftarrow R_3 = 50 \Omega \\ &= 10.2 \text{ kHz} \Leftarrow R_3 = 200 \Omega \\ &= 1.6 \text{ kHz} \Leftarrow R_3 = 1000 \Omega \end{aligned}$$

A figura 3 mostra o diagrama de Bode da função de transferência.

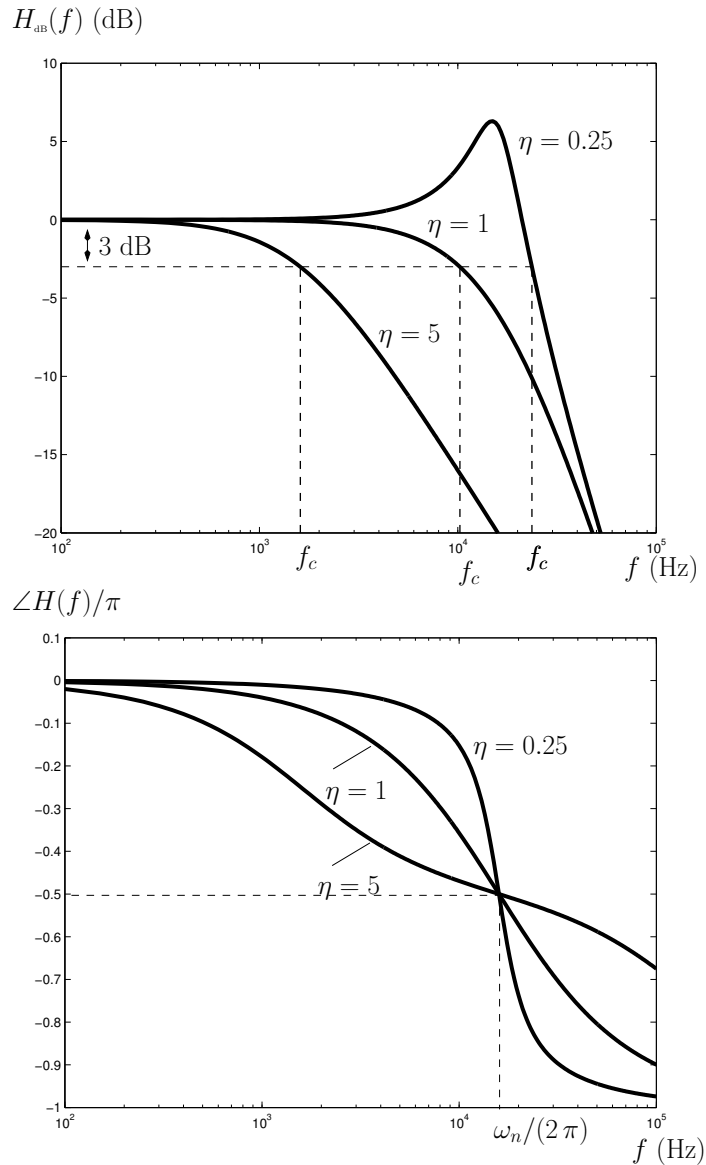


Figura 3: Diagrama de Bode.

2. Para este circuito podemos escrever:

$$V_O = I_S Z_{eq} \quad (4)$$

em que Z_{eq} é dado por:

$$Z_{eq} = (j\omega L) || (j\omega C)^{-1} || R \quad (5)$$

ou seja,

$$\begin{aligned} H(\omega) &= \frac{V_O}{I_S} \\ &= Z_{eq} \\ &= \frac{j\omega L R}{R + j\omega L + (j\omega)^2 L C R} \end{aligned}$$

Esta função de transferência é de segunda ordem e pode ser escrita de acordo com a seguinte forma canónica:

$$H(\omega) = \frac{1}{C} \frac{j\omega}{\omega_n^2 + j\omega 2\eta\omega_n + (j\omega)^2}$$

em que

$$\begin{aligned} \omega_n &= \frac{1}{LC} \\ &= 64.6 \text{ krad/s} \\ \eta &= \frac{1}{2R} \sqrt{\frac{L}{C}} \\ &= 0.044 \end{aligned}$$

A figura 4 mostra o diagrama de Bode da função de transferência. É interessante verificar que para frequências inferiores a $\omega_n/(2\pi)$ a função de transferência tem um carácter indutivo e que para frequências superiores a $\omega_n/(2\pi)$ a função de transferência tem um carácter capacitivo.

3. Cálculos dos parâmetros admitância.

- *Círcuito a):* A figura 5 a) mostra o circuito equivalente para o cálculo de Y_{11} e de Y_{21} . Note que o porto 2 está em curto-circuito, ou seja $V_2 = 0$. Assim a tensão V_1 está aplicada aos terminais de L ;

$$\begin{aligned} I_1 &= \frac{V_1}{j\omega L} \\ I_2 &= -I_1 \end{aligned}$$

pelo que podemos escrever:

$$\begin{aligned} Y_{11} &= \left. \frac{I_1}{V_1} \right|_{V_2=0} \\ &= \frac{1}{j\omega L} \\ Y_{21} &= \left. \frac{I_2}{V_1} \right|_{V_2=0} \\ &= -\frac{1}{j\omega L} \end{aligned}$$

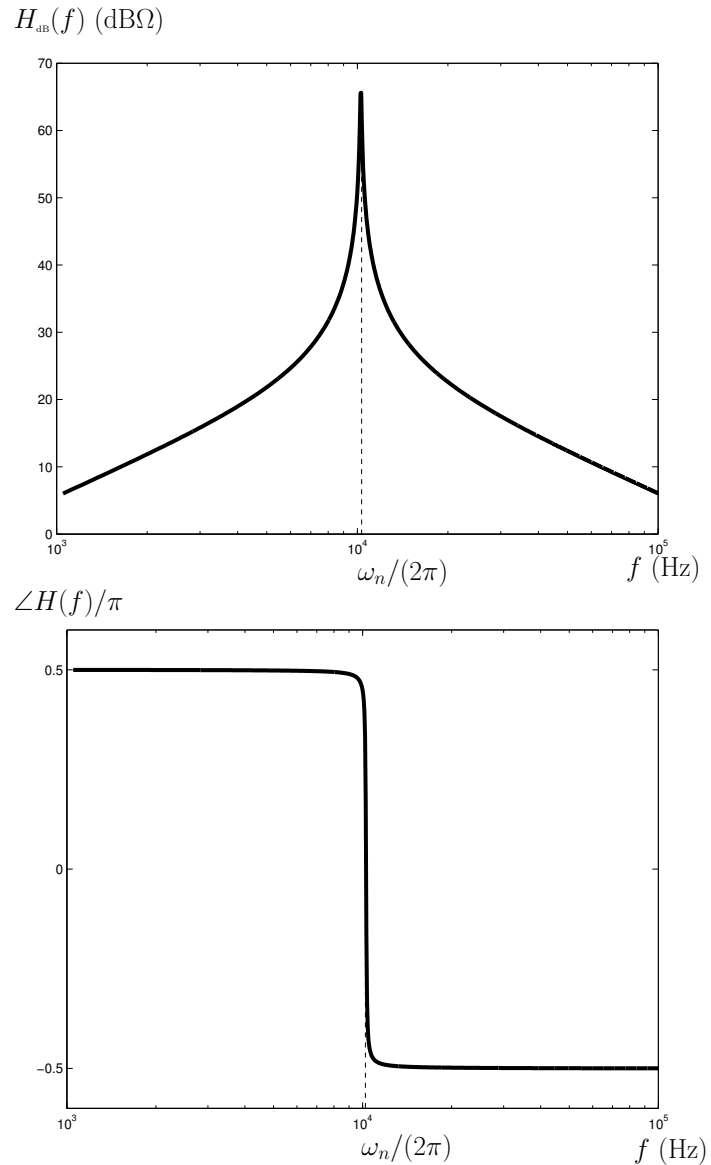


Figura 4: Diagrama de Bode.

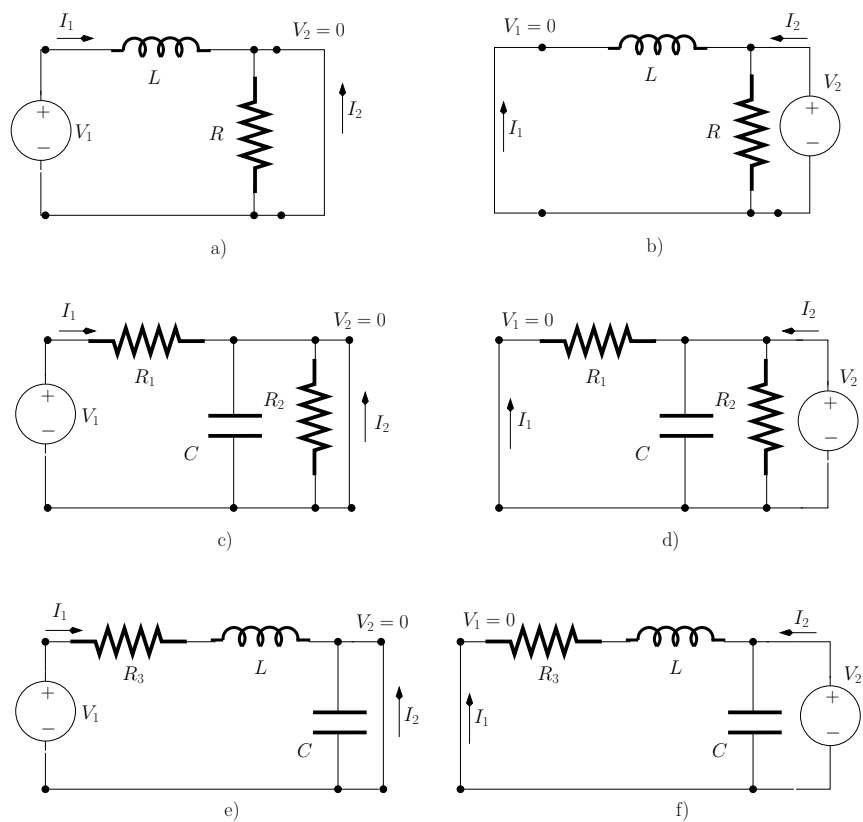


Figura 5: Cálculos dos parâmetros admitância.

A figura 5 b) mostra o circuito equivalente para o cálculo de Y_{12} e de Y_{22} . Agora o porto 1 está em curto-círcuito, ou seja $V_1 = 0$. Assim a tensão V_2 está aplicada aos terminais de L e aos terminais de R ;

$$\begin{aligned} I_1 &= -\frac{V_2}{j\omega L} \\ I_2 &= \frac{V_2}{j\omega L} + \frac{V_2}{R} \end{aligned}$$

ou seja

$$\begin{aligned} Y_{12} &= \left. \frac{I_1}{V_2} \right|_{V_1=0} \\ &= -\frac{1}{j\omega L} \\ Y_{22} &= \left. \frac{I_2}{V_2} \right|_{V_1=0} \\ &= \frac{1}{j\omega L} + \frac{1}{R} \end{aligned}$$

- *Circuito b):* A figura 5 c) mostra o circuito equivalente para o cálculo de Y_{11} e de Y_{21} . O porto 2 está em curto-círcuito, ou seja $V_2 = 0$. A tensão V_1 está aplicada aos terminais de R_1 ;

$$\begin{aligned} I_1 &= \frac{V_1}{R_1} \\ I_2 &= -I_1 \end{aligned}$$

pelo que podemos escrever:

$$\begin{aligned} Y_{11} &= \left. \frac{I_1}{V_1} \right|_{V_2=0} \\ &= \frac{1}{R_1} \\ Y_{21} &= \left. \frac{I_2}{V_1} \right|_{V_2=0} \\ &= -\frac{1}{R_1} \end{aligned}$$

A figura 5 d) mostra o circuito equivalente para o cálculo de Y_{12} e de Y_{22} . O porto 1 está em curto-círcuito, ou seja $V_1 = 0$ e a tensão V_2 está aplicada aos terminais de R_2 , aos terminais de R_1 e também aos terminais de C ;

$$\begin{aligned} I_1 &= -\frac{V_2}{R_1} \\ I_2 &= j\omega C V_2 + \frac{V_2}{R_1} + \frac{V_2}{R_2} \end{aligned}$$

ou seja

$$Y_{12} = \left. \frac{I_1}{V_2} \right|_{V_1=0}$$

$$\begin{aligned}
 &= -\frac{1}{R_1} \\
 Y_{22} &= \left. \frac{I_2}{V_2} \right|_{V_1=0} \\
 &= j\omega C + \frac{1}{R_1} + \frac{1}{R_2}
 \end{aligned}$$

- *Circuito c):* A figura 5 e) mostra o circuito equivalente para o cálculo de Y_{11} e de Y_{21} . O porto 2 está em curto-circuito, ou seja $V_2 = 0$. A tensão V_1 está aplicada aos terminais da impedância constituída pela série de R_3 com L ;

$$\begin{aligned}
 I_1 &= \frac{V_1}{R_3 + j\omega L} \\
 I_2 &= -I_1
 \end{aligned}$$

pelo que podemos escrever:

$$\begin{aligned}
 Y_{11} &= \left. \frac{I_1}{V_1} \right|_{V_2=0} \\
 &= \frac{1}{R_3 + j\omega L} \\
 Y_{21} &= \left. \frac{I_2}{V_1} \right|_{V_2=0} \\
 &= -\frac{1}{R_3 + j\omega L}
 \end{aligned}$$

- A figura 5 e) mostra o circuito equivalente para o cálculo de Y_{12} e de Y_{22} . O porto 1 está em curto-circuito, ou seja $V_1 = 0$. A tensão V_2 está aplicada aos terminais de C e aos terminais da impedância constituída pela série de R_3 com L ;

$$\begin{aligned}
 I_1 &= -\frac{V_2}{R_3 + j\omega L} \\
 I_2 &= j\omega C V_2 + \frac{V_2}{R_3 + j\omega L}
 \end{aligned}$$

ou seja

$$\begin{aligned}
 Y_{12} &= \left. \frac{I_1}{V_2} \right|_{V_1=0} \\
 &= -\frac{1}{R_3 + j\omega L} \\
 Y_{22} &= \left. \frac{I_2}{V_2} \right|_{V_1=0} \\
 &= j\omega C + \frac{1}{R_3 + j\omega L}
 \end{aligned}$$